

# Simulation et Optimisation – TP1

## Introduction

Dans ce laboratoire, il nous est demandé d'implémenter plusieurs algorithmes afin de générer des réalisations de variables aléatoires en utilisant différents jeux de données.

Les trois algorithmes (ou méthodes) qui nous intéressent sont les suivants :

1. Acceptation-rejet (version « bête et méchante »),
2. Méthode des mélanges couplée à une approche géométrique,
3. Méthode des mélanges couplée à la méthode des fonctions inverses.

Nous allons observer dans un premier temps les résultats de ces méthodes en fonction de différents jeux de données. L'analyse des performances des différentes méthodes s'effectuera dans un deuxième temps, en comparant leurs temps d'exécution suivant les situations afin de se faire une idée de leur efficacité et de leurs cas d'utilisation.

## Notes préalables

- Le code a été compilé en C++11 en utilisant mingw 4.8.1.
- Les mesures ont été effectuées avec un processeur Intel®Core™ i7-2760QM CPU @ 2.40GHz.

## Résultats des tests

Voici ci-après les résultats des algorithmes avec 5000 simulations de 1000000 générations de réalisations de variables aléatoires. L'espérance, calculée au préalable, figure au-dessus des tableaux pour chaque jeu de données. Nous l'utiliserons uniquement dans le but de vérifier la validité de l'implémentation des méthodes.

### Premier jeu de données – Uniforme (5,15)

*Espérance: 10*

Méthode	Unité mesurée	Moyenne	Écart-type	IC	Largeur IC
<b>1</b>	Réalisations	9.99876	2.88805	[9.9931,10.0044]	0.0113212
	Temps [s]	0.0564822	0.002313	[0.0564181,0.0565463]	0.000128226
<b>2</b>	Réalisations	10.0035	2.88826	[9.9978,10.0091]	0.011322
	Temps [s]	0.0806404	0.00373474	[0.0805369,0.0807439]	0.000207043
<b>3</b>	Réalisations	9.99826	2.88586	[9.9926,10.0039]	0.0113126
	Temps [s]	0.0538264	0.0022246	[0.0537647,0.0538881]	0.000123326

En regardant ce tableau, on remarque tout d'abord que les résultats des trois méthodes sont très proches les uns des autres. On constate également que les moyennes obtenues sont relativement proches de l'espérance. En jetant un œil aux 3 intervalles de confiance (à 95%), nous pouvons constater que l'espérance théorique s'y trouve (bien entendu, il aurait pu arriver qu'elle soit en dehors de l'IC, mais elle se retrouve statistiquement 95% du temps dedans). Tout ceci peut nous laisser penser aux premiers abords que l'implémentation des algorithmes est correcte.

Nous nous intéresserons aux temps d'exécution dans la section dédiée à l'analyse des performances.

### Deuxième jeu de données – Mélange de deux variables triangulaires

*Espérance: 8.5*

Méthode	Unité mesurée	Moyenne	Écart-type	IC	Largeur IC
<b>1</b>	Réalisations	8.49921	4.62769	[8.49014,8.50828]	0.0181405
	Temps [s]	0.167804	0.00859517	[0.167566,0.168042]	0.000476492
<b>2</b>	Réalisations	8.4945	4.62789	[8.48543,8.50357]	0.0181413
	Temps [s]	0.0875782	0.00301226	[0.0874947,0.0876617]	0.000166991
<b>3</b>	Réalisations	8.49832	4.62784	[8.48925,8.50739]	0.0181411
	Temps [s]	0.0682266	0.00263762	[0.0681535,0.0682997]	0.000146222

A nouveau, on peut remarquer que les résultats des trois méthodes sont similaires, que la moyenne est proche de l'espérance et que cette dernière se trouve dans les trois intervalles de confiance.

## Troisième jeu de données – Profil plutôt plat

*Espérance: 10.758*

Méthode	Unité mesurée	Moyenne	Écart-type	IC	Largeur IC
<b>1</b>	Réalisations	10.7559	5.22366	[10.7456,10.7661]	0.0204767
	Temps [s]	0.0793284	0.00326109	[0.079238,0.0794188]	0.000180785
<b>2</b>	Réalisations	10.7412	5.20638	[10.731,10.7514]	0.020409
	Temps [s]	0.0922574	0.0027182	[0.0921821,0.0923327]	0.000150689
<b>3</b>	Réalisations	10.7552	5.22255	[10.745,10.7655]	0.0204724
	Temps [s]	0.0745272	0.00268177	[0.0744529,0.0746015]	0.00014867

On peut faire les mêmes commentaires que précédemment ici aussi, la seule exception étant l'espérance n'étant pas dans l'IC (relatif aux réalisations de la variable aléatoire de la méthode 2). On remarque alors un exemple où l'espérance n'est pas dans l'intervalle de confiance.

## Quatrième jeu de données – Profil accidenté

*Espérance: 10.2616*

Méthode	Unité mesurée	Moyenne	Écart-type	IC	Largeur IC
<b>1</b>	Réalisations	10.2598	5.70906	[10.2486,10.2709]	0.0223795
	Temps [s]	0.257825	0.00595176	[0.25766,0.25799]	0.000329949
<b>2</b>	Réalisations	10.2584	5.70699	[10.2472,10.2696]	0.0223714
	Temps [s]	0.0954716	0.00334572	[0.0953789,0.0955643]	0.000185477
<b>3</b>	Réalisations	10.259	5.70972	[10.2478,10.2702]	0.0223821
	Temps [s]	0.08005	0.00264168	[0.0799768,0.0801232]	0.000146448

A nouveau, les mêmes remarques peuvent être faites au sujet de ce tableau.

## Analyse des performances

### Comportement des fonctions

Pour l'**acceptation-rejet** « bête et méchante », il faut enfermer la fonction dans le rectangle  $[a, b] \times [0, y_{max}]$ , avec  $y_{max}$  étant le maximum des ordonnées des points constituant la fonction. Un point  $(X, Y)$  sera généré dans ce rectangle. On accepte  $X$  si  $Y$  est sous la fonction à l'abscisse  $X$ . Un profil plat implique que la fonction sera plutôt proche du « haut » du rectangle. Dans le cas de l'uniforme, comme chaque ordonnée des points de l'uniforme est égal à  $y_{max}$ , le point généré sera forcément accepté (il ne peut être généré au-dessus de la fonction). Il s'agit donc d'un des cas idéaux d'utilisation de cette méthode.

Pour résumer, quand le profil de la fonction est relativement « plat », l'acceptation-rejet reste en lice avec les autres algorithmes (comme sur les figures 1 et 3 ci-après). Dans le cas contraire (beaucoup de variations entre les ordonnées des points), c'est la catastrophe. Le rectangle englobant la fonction se trouve être énorme, donc on devra générer beaucoup de points pour tomber sous la fonction (figures 2 et surtout 4).

Pour la **méthode des mélanges couplée à l'approche géométrique**, on devrait avoir des temps d'exécution approximativement les mêmes, qu'importe la fonction. En effet, pour cette méthode, pour un « morceau » de fonction donné, on génère un point  $(X, Y)$  et on l'accepte à chaque fois : s'il est sous le morceau de fonction, on retourne  $X$  et dans le cas contraire on effectue une symétrie sur  $X$ . En observant les figures de 1 à 4, on peut constater que les temps convergent effectivement vers une même valeur, ce qui valide notre hypothèse.

Enfin, pour la **méthode des mélanges couplée à la méthode des fonctions inverses**, on a deux cas pour un morceau de fonction donné: soit les ordonnées des points définissant le morceau de fonction sont égales et le calcul est relativement simple, soit elles sont différentes et le calcul est un peu plus complexe (racine carrée, division, etc).

On s'attend donc à avoir pour l'uniforme un des meilleurs temps d'exécution et également pour les autres fonctions (le temps sera plus grand que l'uniforme). C'est bien la tendance que l'on peut constater sur les graphiques : le temps est le meilleur pour l'uniforme (figure 1) et légèrement moins bien pour le reste des fonctions (figures 2 à 4). Dans ce dernier cas, il est approximativement le même pour toutes.

Finalement, on remarque que, en vertu des idées exprimées précédemment, pour un profil plutôt plat, les méthodes 1 et 3 sont idéales et que pour un profil accidenté, la méthode 1 est catastrophique mais la 2 et 3 sont plus appropriées. La méthode 3 est visiblement la meilleure et à utiliser dans toutes les situations.

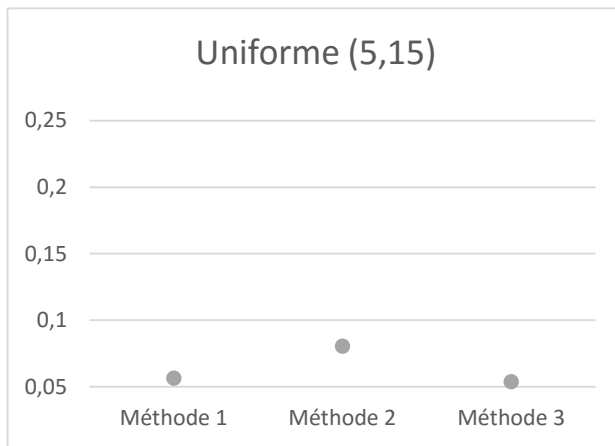


Figure 1

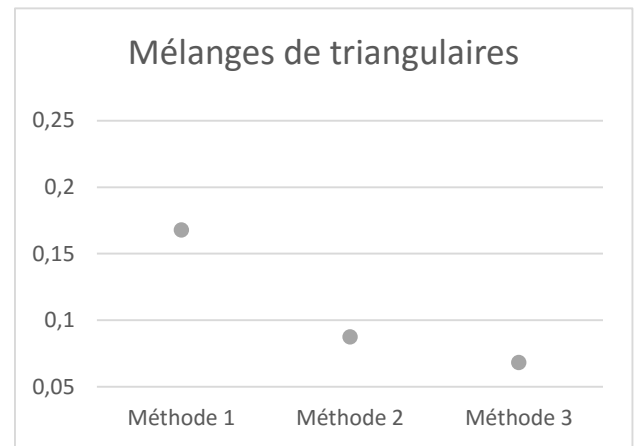


Figure 2

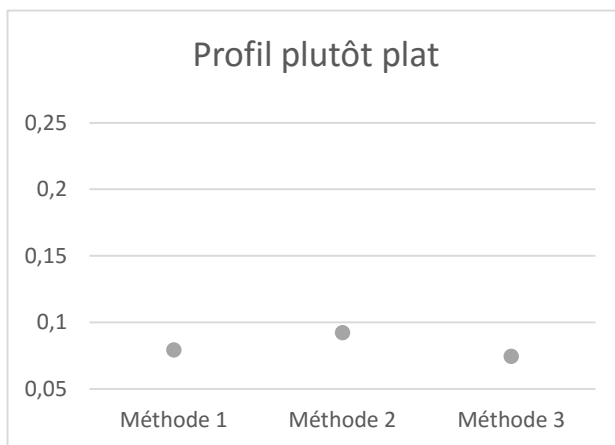


Figure 3

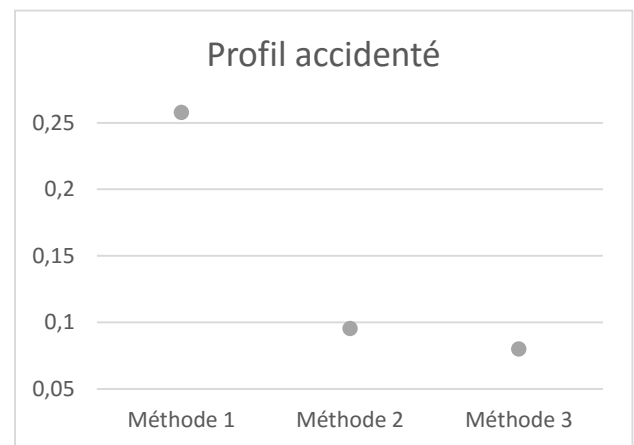


Figure 4

Note : on remarque sur les figures que la borne inférieure et supérieure des IC sont très proches. Comme on veut représenter tous les IC en utilisant une même échelle, on ne voit malheureusement pas la différence entre la borne inférieure, supérieure et la moyenne...

On peut tout de même constater que les IC ont tous une largeur similaire et que l'on peut ainsi les comparer, ce qui permet de bien se rendre compte de l'efficacité des 3 algorithmes.